



## زمین‌شیمی روانه گدازه‌های هیدروماگمایی کرتاسه در منطقه سپارده، شمال شرق قزوین، البرز مرکزی

راضیه جعفری سوق، عباس آسیابانها<sup>\*</sup>، محسن نصرآبادی

گروه زمین‌شیمی، دانشکده علوم پایه، دانشگاه بین‌المللی امام خمینی (ره)، قزوین

(دریافت مقاله: ۹۶/۵/۲۳، نسخه نهایی: ۹۶/۱۱/۱۴)

چکیده: سنگ‌های آتشفشاری قلیایی و چینه‌سان منطقه‌ی سپارده (شمال شرق قزوین) واقع در پهنه‌ی البرز مرکزی به صورت هم‌شیب بر سنگ آهک‌های کرتاسه پیشین سازند تیزکوه قرار گرفته‌اند. این سنگ‌ها از نظر بافتی سیار ریزدانه و یکنواخت هستند و از نظر کانی‌شناسی با داشتن ریزدرشت بلورها و ریزسنگ‌های پلازیوکلاز، پیروکسن، الیوین، آپاتیت و کانی‌های کدر در یک زمینه‌ی شیشه‌ای مشخص می‌شوند. ولی در بین توالی نمونه‌های برداشت شده، نمونه‌های با بافت آذرآواری و ویژگی‌های بافتی زیر نیز وجود دارند: بافت لکه‌ای، ریزبالشتک‌های مافیک، تخلخل ۳-۴ برابر، حفره‌های تفکیکی، قطعات پوکه‌ای و تراشه‌های شیشه. در نتیجه، برخلاف سایر نمونه‌ها، برآمده از فوران انفجاری هستند. نمونه‌ها از نظر شیمیایی، تفریتی و وابسته به سری سدیمی قلیایی هستند. با وجود یکنواختی در ترکیب نمونه‌های غیرانفجاری، مقدار سیلیس و قلیایی‌ها در نمونه‌های آذرآواری، بیشتر و در عوض مقدار  $TiO_2$ ,  $MgO$ ,  $Fe_2O_3^t$  و  $CaO$  کمتر از سایر نمونه‌هاست. همچنین از نظر ترکیب عناصر فرعی، در بیشتر نمونه‌ها، غنی‌شدنی (حدود ۱۰۰ برابر) عناصر خاکی نادر سبک (LREEs) نسبت به عناصر خاکی نادر سنگین (HREEs)، ناهنجاری مثبت عناصر با شدت میدان بالا (HFSEs) Eu, Rb, Th, Ta و K و نبود ناهنجاری منفی Ti و Nb دیده می‌شود. در ضمن، نمودارهای محیط زمین‌ساختی، موقعیت کافت قاره‌ای و نمودارهای سنگ‌زایی، یک خاستگاه گارنن لرزولیتی غنی‌شده را نشان می‌دهند. لذا در مجموع می‌توان چنین نتیجه گرفت که این ماقماها که از یک گوشته سست کره‌ای غنی‌شده، سرچشمه گرفته‌اند، در یک محیط کششی کافت درون قاره‌ای تشکیل و به صورت غیر انفجاری، از طریق شکستگی‌های عمیق بالا آمده و وارد محیط دریایی نه چندان عمیق کرتاسه پسین شده‌اند. با این حال، ذوب بخشی سنگ کرده با نفوذ ماقمای مافیک گوشته‌ای، گاهی اوقات ماقمای اسیدی‌تر تولید کرده است که در آمیزش با ماقمای مافیک جدیدتر، سبک فوران‌ها را به سمت انفجاری سوق داده و تماس با آب دریا نیز، این ویژگی را تشدید - کرده است.

واژه‌های کلیدی: فوران زیردریایی؛ کافت قاره‌ای؛ کرتاسه؛ البرز مرکزی؛ قزوین.

کوهزایی کیمرین پسین، بیشتر بخش‌های البرز دچار زمین-ساخت کششی می‌شوند که با میان لایه‌هایی از سنگ‌های آتشفشاری ضخیم موجود در توالی رسوبات دریایی کرتاسه مشخص می‌شوند. لذا انتظار ایجاد فعالیت‌های آتشفشاری مرتبط دور از انتظار نیست. فعالیت ماقمایی کرتاسه و رخدادهای پس از کوهزایی کیمرین در ایران بهویژه در کوهزاد

مقدمه

وضعیت زمین‌ساختی ویژه زمان کرتاسه در سرزمین ایران منجر به کافت‌زایی قاره‌ای و افیولیت‌زایی گستردگی در برخی نقاط ایران شده است که بطور مثال می‌توان به کافت‌زایی مربوط به حوضه‌های پشت‌کمان نئوتیس اشاره کرد [۳-۱]. به علاوه، شهری‌دی و همکاران [۵,۴] معتقدند که پس از رویداد فشارشی

\*نویسنده مسئول، تلفن: ۰۲۸-۳۳۹۰۱۳۶۵، نمبر: ۰۲۸۳۳۷۸۰۰۴۰، پست الکترونیکی: asiabanh@sci.ikiu.ac.ir

آتشفشاری کرتاسه در البرز و ارتباط آن با فعالیت آتشفشاری گستره سنوزوئیک و نیز ارزیابی شرایط فیزیکوشیمیایی فوران، مهم‌ترین اهداف این پژوهش هستند.

### روش پژوهش

نظر به گسترش چینه‌سان روانه گدازه‌های کرتاسه در شمال نوار آتشفشاری – نفوذی پالئوژن البرز، از تعدادی از این روانه‌ها، نمونه‌های پیاپی برداشت شد تا ضمن بررسی هم‌زادی کانی‌ها و روابط بافتی، تغییرات شیمیایی آنها نیز بررسی شد. تجزیه شیمیایی نمونه‌ها به روش‌های طیفسنجی فلورسانس پرتو X (XRF)، (عناصر اصلی بر حسب درصد وزنی اکسیدها)، و طیفسنجی پلاسمای جفت شده القایی (ICP) (عناصر فرعی بر حسب ppm) در آزمایشگاه زمین‌شیمی سازمان زمین‌شناسی کشور صورت گرفت که نتایج انها در جدول ۱ ارائه شده است.

### زمین‌شناسی

از نظر موقعیت زمین‌شناسی، منطقه مورد بررسی در پهنه البرز مرکزی قرار دارد که توسط گسل کندوان از نوار آتشفشاری – نفوذی پالئوژن در قسمت جنوبی جدا می‌شود. قدیمی‌ترین رخمنون‌ها در منطقه، رسوبات سازند شمشک هستند که سنگ اهک‌های اربیتولین‌دار سازند تیزکوه (به سن کرتاسه پیشین) با نبود چینه‌شناسی به طور مستقیم بر آن‌ها (شکل ۲ الف) و سپس روانه گدازه‌های موردنظر در این بررسی، به صورت هم‌شیب بر آن‌ها واقع شده‌اند (شکل ۲ ب) و از این رو سن آن‌ها، به احتمال زیاد کرتاسه پسین (آپتین-آلین) برآورده می‌شود. روانه گدازه‌های مورد بررسی به صورت چینه‌سان با شیبی حدود ۵۰-۶۰ درجه به سمت شمال- شمال‌شرق دیده می‌شوند. ضخامت هر یک از روانه‌ها حدود ۴ تا ۱۰ متر و بافت یکنواخت ریزدانه تا توده‌ای و نسبتاً حفره‌دار به رنگ خاکستری تا قهوه‌ای تیره دارند. با وجود ترکیب به‌ظاهر یکنواخت و نبود کانی قابل تشخیص در نمونه‌ی دستی، به دلیل تغییر میزان حفره‌ها در روانه‌های مختلف و احتمال تغییرات کانی‌شناسی و حتی شیمیایی، از چند روانه، نمونه‌برداری منظم و پیاپی صورت گرفت (شکل ۲ ب). در بُرش برداشت شده، برخی روانه‌ها، درزه‌های عمود بر عرض گدازه (درزه‌های انقباضی) نشان می‌دهند (شکل ۲ پ) و در ضمن هیچ‌گونه افق خاکی بین روانه‌ها دیده نشد. ولی یکی از روانه‌های میانی این بُرش، دارای بافت

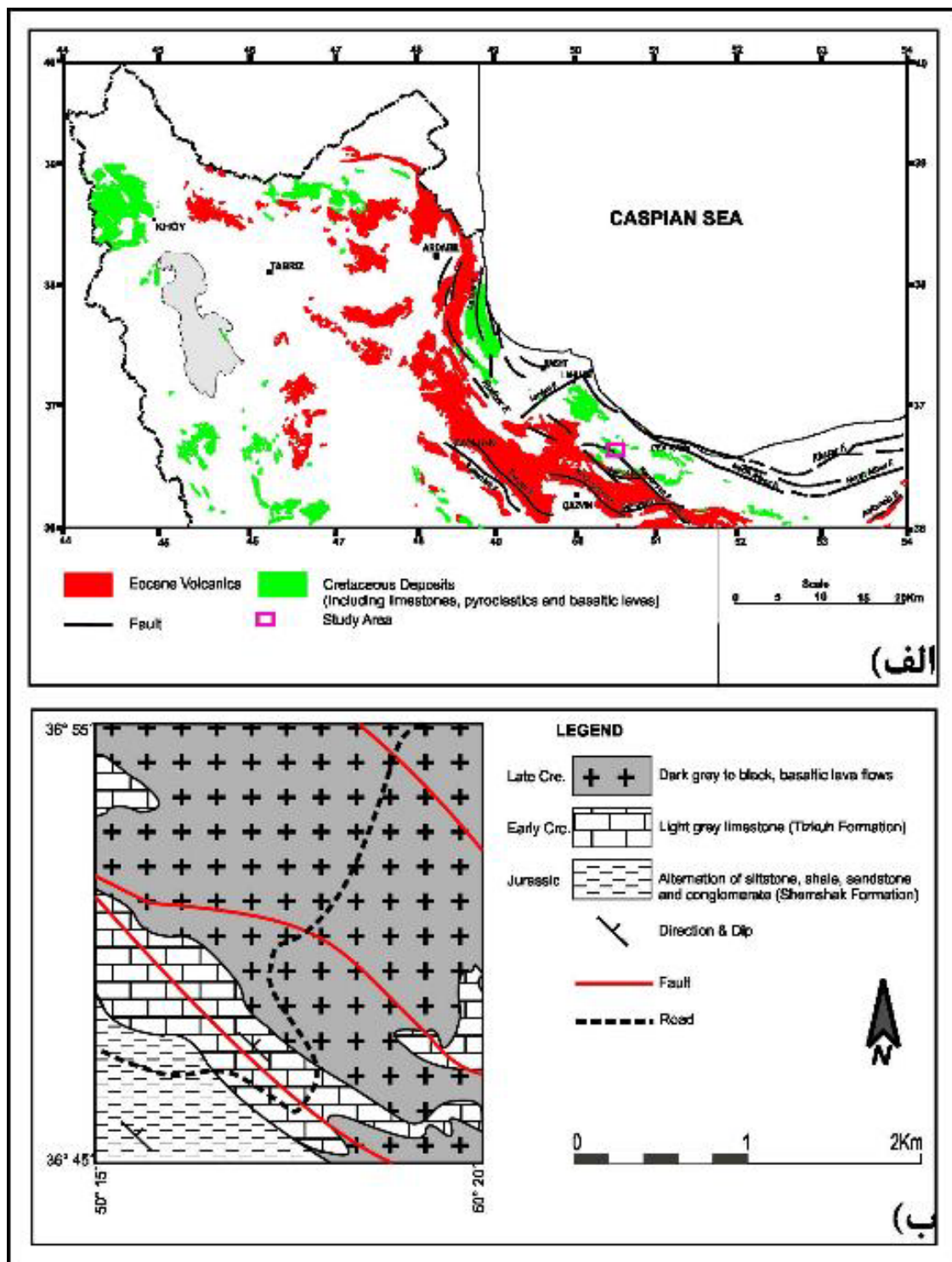
زاگرس از اهمیت درخور توجهی برخوردار است، بطوری که افیولیت‌زایی در پهنه زاگرس و اطراف خرده قاره ایران مرکزی و نیز برخی توده‌های نفوذی در نیمه شمالی پهنه سندج- سیرجان چون توده‌های گرانیت‌وئیدی الوند، ملایر، گلپایگان و بروجرد، نمونه‌هایی از مظاهر آن هستند.

در مورد فعالیت‌های ماقمایی این زمان در پهنه البرز اطلاعات چندانی در دست نیست که شاید به دلیل باشد: یکی به دلیل دور بودن این منطقه از کانون اصلی رخداد مربوط به بسته شدن اقیانوس نئوتیس و دیگری پنهان بودن رخمنون‌های احتمالی آن در زیر پوشش جنگلی اقلیم منطقه. به‌هرحال، نخستین گزارش از توصیف رخمنون‌های آتشفشاری کرتاسه در دامنه شمالی پهنه البرز مرکزی مربوط به سازند چالوس است که برش الگوی آن توسط کارتیر [۶] در ۱۷ کیلومتری جنوب چالوس در جاده تهران- چالوس معرفی شد. او این سازند را مشتمل بر ۵ عضو متناوب آتشفشاری و آهکی به ضخامت کل ۱۸۰۰ متر گزارش نموده است. از بررسی‌های دیرینه مغناطیسی بر سنگ‌های آتشفشاری کرتاسه در کوه‌های البرز مرکزی مشخص شده است که شمال ایران در آن زمان، در همین موقعیت فعلی نسبت به اوراسیا قرار داشته است [۷]. در سال‌های اخیر سنگ‌های گابرویی و بازالتی وابسته به این زمان در شرق گیلان نیز بررسی شده‌اند [۸-۱۱]. به نظر صلواتی و همکاران [۸] توالی مافیک- فرامافیک منطقه جنوب لاهیجان- لنگرود نشانگر یک توالی افیولیتی در یک حوضه حاشیه‌ای ابرفروزانشی است. در حالی که برخی دیگر [۹-۱۱] بازالت‌های قلیایی منطقه جواهردشت را برآمده از آلایش با پوسته‌ی قاره‌ای در یک محیط کافت قاره‌ای می‌دانند. به علاوه شهری‌دی و همکاران [۴] نیز رویدادهای آتشفشاری کرتاسه در البرز را ناشی از فاز کششی می‌دانند که به دنبال تغییر تنش ایجاد شده‌اند.

در منطقه بین استان‌های قزوین و مازندران و در گستره عرض‌های جغرافیایی ۴۵° تا ۳۶° شمالي و طول‌های جغرافیایی ۱۵° تا ۵۰° شرقی، بر سنگ‌آهک‌های سازند تیزکوه (به سن کرتاسه پیشین)، روانه گدازه‌های چینه‌سانی وجود دارند که بخشی از رخمنون‌های این سنگ‌ها در البرز مرکزی و غربی به شمار می‌روند (شکل ۱). نبود اطلاعات کافی در مورد سنگ‌زایی و محیط زمین‌ساخت‌ماگمایی فعالیت

(شکل ۲ ت) و میزان حفره‌ها با رسیدن به این روانه به بیشترین حد خود می‌رسد.

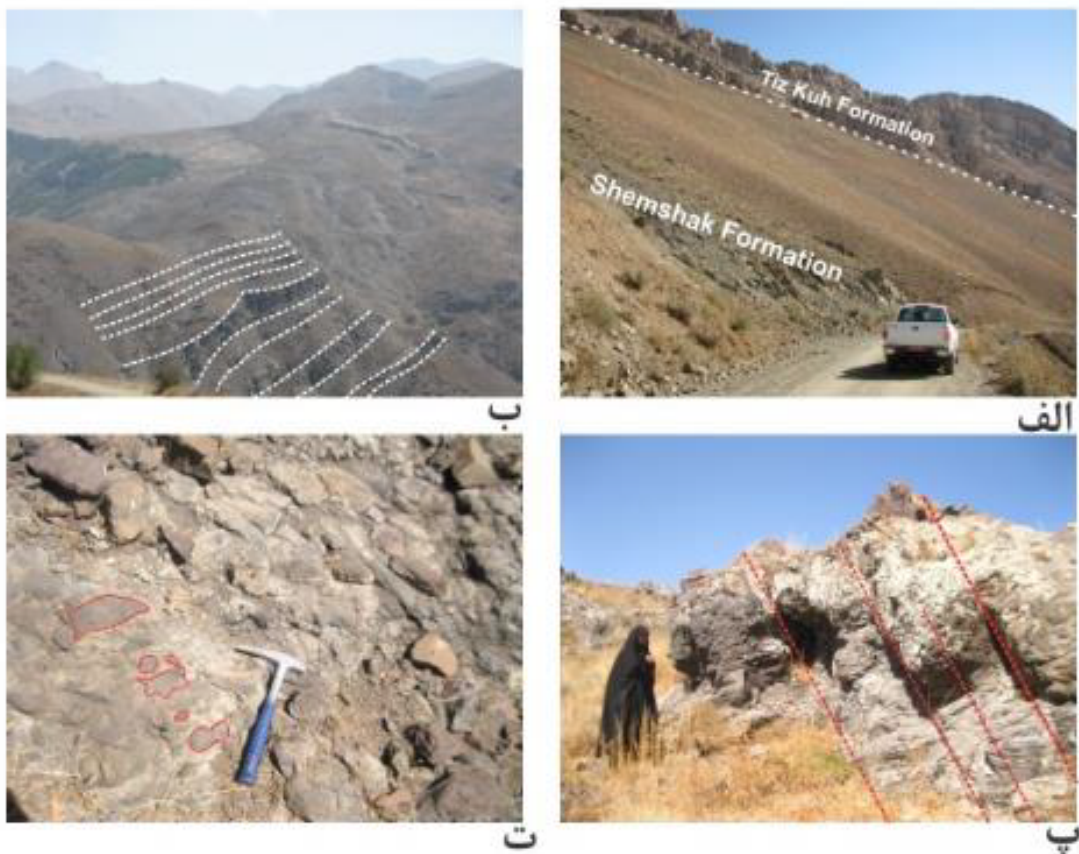
بریشی یا آب‌آواری است، به طوری که در بردارنده قطعات نیمه‌گرد تا زاویدار تیره در یک زمینه‌ی پر حفره به رنگ روشن‌تر است



شکل ۱ (الف) پراکندگی رخنمون‌های سنگ‌های آتشفشاری کرتاسه و ائوسن در شمال ایران براساس نقشه‌های زمین‌شناسی چهارگوش‌های قزوین رشت [۱۲]، تبریز-پلدشت [۱۳]، خوی [۱۴]، مهاباد [۱۵]، ارومیه [۱۶]، زنجان [۱۷]، تکاب [۱۸]، ساری [۱۹]، مغان [۲۰]، میانه [۲۱]، بندرانزلی [۲۲]، اردبیل [۲۳]، آمل [۲۴] و گسل‌ها (برگرفته از مرجع [۲۶]) و ب) نقشه زمین‌شناسی منطقه مورد بررسی [۲۷]

جدول ۱ نتایج تجزیه شیمیایی عناصر اصلی (بر حسب درصد وزنی) و کمیاب (بر حسب ppm) در نمونه‌های منطقه سپارده، شمال شرق قزوین

نمونه	S-9a	S-10	S-11a	S-12	S-13	S-14	S-15
SiO <sub>2</sub>	۴۳,۴۷	۵۴,۹۴	۴۴,۷۱	۴۰,۸۵	۴۲,۴۹	۴۳,۲۹	۴۳,۵۲
TiO <sub>2</sub>	۲,۳۹	۱,۷۰	۲,۳۶	۲,۹۲	۳,۸۲	۳,۲۲	۳,۲۴
Al <sub>2</sub> O <sub>3</sub>	۱۴,۸۴	۱۵,۰۴	۱۵,۳۸	۱۵,۳۱	۱۴,۸۴	۱۶,۷۷	۱۶,۱۳
Fe <sub>2</sub> O <sub>3</sub>	۱۵,۸۶	۱۱,۹۷	۱۴,۴۰	۱۵,۴۵	۱۶,۴۷	۱۴,۰۶	۱۴,۹۱
MnO	۰,۲۸	۰,۲۰	۰,۲۸	۰,۲۸	۰,۲۶	۰,۲۶	۰,۲۵
MgO	۵,۸۶	۲,۷۲	۵,۲۲	۴,۳۰	۴,۰۶	۳,۳۶	۳,۹۴
CaO	۶,۸۴	۲,۶۷	۶,۸۰	۱۰,۹۳	۸,۴۴	۸,۵۷	۷,۹۷
Na <sub>2</sub> O	۲,۶۴	۵,۲۲	۲,۷۱	۲,۸۷	۲,۷۲	۳,۶۶	۳,۴۲
K <sub>2</sub> O	۰,۹۶	۱,۲۹	۱,۰۲	۱,۰۱	۰,۷۹	۱,۶۳	۱,۰۲
P <sub>2</sub> O <sub>۵</sub>	۱,۲۵	۱,۱۲	۱,۲۵	۱,۵۱	۱,۵۸	۱,۱۴	۱,۲۲
SrO	۰,۱۷	۰,۱۱	۰,۱۶	۰,۱۹	۰,۲۱	۰,۱۴	۰,۱۲
ZrO <sub>۲</sub>	۰,۰۹	۰,۰۹	۰,۰۹	۰,۰۷	۰,۱۰	۰,۰۶	۰,۰۵
افت گرمایی	۴,۰۵	۲,۱۵	۴,۳۱	۳,۹۶	۳,۷۳	۳,۵۰	۳,۹۰
مجموع	۹۹,۷۰	۹۹,۷۲	۹۹,۶۸	۹۹,۶۴	۹۹,۴۹	۹۹,۶۶	۹۹,۷۰
Cs	۱۷,۰۷	۱۳,۰۱	۱۴,۶۳	۱۵,۸۲	۱۸,۰۵	۱۴,۱۴	۱۸,۰۳
Rb	۳۱۸,۱۲	۲۲۱,۸۱	۲۹۵,۸۲	۳۷۱,۰۲	۴۲۵,۳۴	۲۶۱,۷۴	۲۶۷,۵۶
Ba	۵۷۲,۶۵	۴۷۱,۴۰	۵۴۸,۱۳	۸۴۳,۶۹	۵۹۶,۳۲	۸۹,۰۸	۸۹۹,۷۱
Sr	۱۲۳۵,۱۱	۸۷۰,۳۱	۱۱۵۹,۶۲	۱۴۲۱,۷۵	۱۶۴۲,۵۶	۱۰,۱۲,۰۵	۱۰,۳۵,۱۹
Pb	۴۹,۸۸	۳۹,۸۲	۱۸,۲۶	<۰,۵	۲۴,۹۴	۱,۱۷	۰,۵۲
Th	۱۳,۷۴	۱۱,۳۸	۱۱,۴۹	۱۵,۹۶	۱۴,۰۹	۱۲,۴۷	۱۴,۷۳
U	۷,۴۶	۵,۵۸	۶,۶۰	۶,۹۳	۸,۰۲	۶,۸۷	۷,۹۸
Zr	۹۵۴,۱۴	۸۷۸,۱۴	۹۷۶,۸۵	۷۵۵,۱۵	۹۹۱,۴۱	۵۸۶,۲۷	۵۴۳,۸۸
Hf	۰,۵۵	۴,۴۲	۰,۰۹	۰,۸۵	۶,۳۶	۰,۰۴	۰,۸۹
Ta	۰,۹۲	۰,۶۷	۰,۹۴	۱,۲۸	۱,۰۴	۱,۱۲	۱,۱۱
Y	۳۷,۳۴	۳۳,۴۵	۳۴,۸۵	۴۵,۱۷	۴۶,۲۰	۳۸,۰۵	۳۶,۰۶
Nb	۱۰,۸,۱۴	۵۶,۴۹	۹۵,۳۳	۹۶,۳۱	۱۱۴,۹۵	۱۰۰,۷۵	۱۱۴,۸۴
La	۷۳,۳۵	۱۰,۱,۷۲	۷۴,۱۹	۱۲۶,۲	۸۴,۸۷	۸۹,۲۵	۶۴,۸۳
Ce	۱۶۹,۲۵	۱۹۲,۱۴	۱۶۰,۸۹	۲۴۱,۰۰	۱۹۲,۶۷	۱۸۱,۳۸	۱۵۲,۱۲
Pr	۱۴,۱۳	۱۵,۲۷	۱۲,۲۶	۱۹,۳۱	۱۷,۰۸	۱۷,۳۱	۱۶,۱۳
Nd	۱۴۹,۹۴	۸۹,۹۱	۱۳۴,۸۸	۱۴۶,۸۱	۱۶۷,۴۶	۱۵۰,۳۷	۱۴۷,۶۵
Sm	۱۰,۰۳	۱۰,۱۴	۹,۵۲	۱۱,۵۷	۱۲,۸۱	۹,۸۲	۱۰,۰۵
Eu	۴,۰۴	۳,۲۶	۳,۳۶	۴,۲۴	۵,۲۶	۳,۳۸	۳,۶۰
Gd	۸,۱۱	۷,۰۶	۷,۲۳	۸,۷۶	۹,۳۶	۷,۶۲	۸,۳۴
Tb	۸,۱۱	۴,۱۹	۷,۰۴	۶,۸۳	۸,۶۲	۷,۱۸	۸,۵۳
Dy	۷,۰۹	۵,۷۷	۶,۰۷	۸,۳۷	۸,۴۷	۶,۵۷	۷,۰۸
Ho	۲,۲۳	۱,۸۸	۱,۸۱	۲,۵۹	۲,۸۲	۲,۲۰	۲,۰۸
Er	۱,۰۸	۱,۰۵	۰,۹۳	۱,۸۲	۲,۰۵	۱,۸۴	۱,۶۳
Tm	۰,۴۱	۰,۳۶	۰,۳۲	۰,۴۱	۰,۴۷	۰,۳۸	۰,۴۹
Yb	۳,۰۸	۲,۴۷	۲,۹۷	۳,۸۴	۳,۳۹	۳,۳۶	۳,۲۴
Lu	۱,۳۵	۱,۰۰	۱,۳۳	۱,۴۰	۱,۴۰	۱,۱۶	۱,۰۴
Sc	۱۸,۵۷	۵,۰۲	۱۸,۰۱	۱۵,۰۱	۱۳,۷۲	۱۵,۰۸	۱۲,۵۱
Cr	۷۳,۱۷	۱۷۹,۷۲	۸۶,۹۴	۲۶,۶۳	۴۱,۰۳	۶۷,۰۷	۴۰,۲۰
Ni	۵۵,۲۳	۴,۴۳	۴۲,۹۶	۱۴,۶۵	۹,۹۵	۱۳,۰۰	۱۰,۴۵
Co	۳۹,۹۴	۱۹,۷۸	۴۲,۵۶	۴۳,۱۸	۴۱,۱۲	۴۳,۴۴	۴۴,۷۹
V	۲۵۶,۳۸	۶۲,۴۹	۲۲۴,۰۷	۲۶۸,۰۲	۲۰,۳۵۱	۲۶,۰۷۶	۲۱۹,۷۶
Ga	۳۰,۶۱	۲۷,۲۸	۲۸,۰۹	۲۴,۸۳	۳۳,۲۷	۲۵,۳۶	۲۴,۳۴
Zn	۱۴۴,۰۰	۲۵۸,۸۷	۱۸,۰۸	۱۷۱,۷۱	۱۹۶,۶۴	۱۲۸,۶۳	۱۲۷,۸۰
Cu	۶۲,۲۹	۲۵۸,۸۶	۴۷,۳۰	۵۶,۲۹	۳۷,۴۳	۴۶,۶۸	۳۲,۴۰
Be	۴,۲۴	۰,۱۰	۴,۶۲	۳,۸۷	۴,۴۱	۲,۹۷	۲,۶۷



شکل ۲ تصاویر صحرایی برخی از رخنمون‌های منطقه مورد بررسی: (الف) قرارگیری سازند تیزکوه بر سازند شمشک؛ (ب) روانه گدازه‌های چینه‌سان منطقه سپارده؛ (پ) درزه‌های انقباضی دریکی از روانه‌ها؛ (ت) برش آتشفشاری شیشه‌آواری شامل قطعات گرد مافیک در زمینه فلزیک.

نسبت به ریزدرشت بلورها نشانه سرعت بالای صعود ماقما طی انتقال به سطح زمین و سرد شدن سریع در مراحل پایانی انجاماد است.

پیروکسن: این نمونه‌ها دارای پیروکسن از نوع کلینوپیروکسن (احتمالاً تیتان اوژیت) هستند و ماکل ساعت شنی (شکل ۳ پ)، منطقه‌بندی، بافت غربالی (شکل ۳ ت) و خودگی خلیجی، نشان می‌دهند که در مجموع بیانگر عدم تعادل آنها طی مراحل پایانی سرد شدن است.

الیوین: در نمونه‌های مورد بررسی به ندرت الیوین سالمی دیده می‌شود. می‌توان گفت که تقریباً تمام الیوین‌ها به ایدنگزیت (شکل ۳ ث) و یا بولانزیت (شکل ۳ ج) تبدیل شده‌اند و تنها اشکال دروغینی از آن‌ها باقی مانده است. ایدنگزیت در نمونه‌ها به رنگ قهوه‌ای مایل به نارنجی دیده می‌شود. ایدنگزیت فراورده فراگیر و متداول دگرسانی ماقمایی دما - بالاست و یک شبه کانی قرمزنگ شامل اکسید آهن سه‌ظرفیتی است که برادر اکسایش در دمای بالا، از الیوین گدازه‌ها ایجاد می‌شود [۲۸].

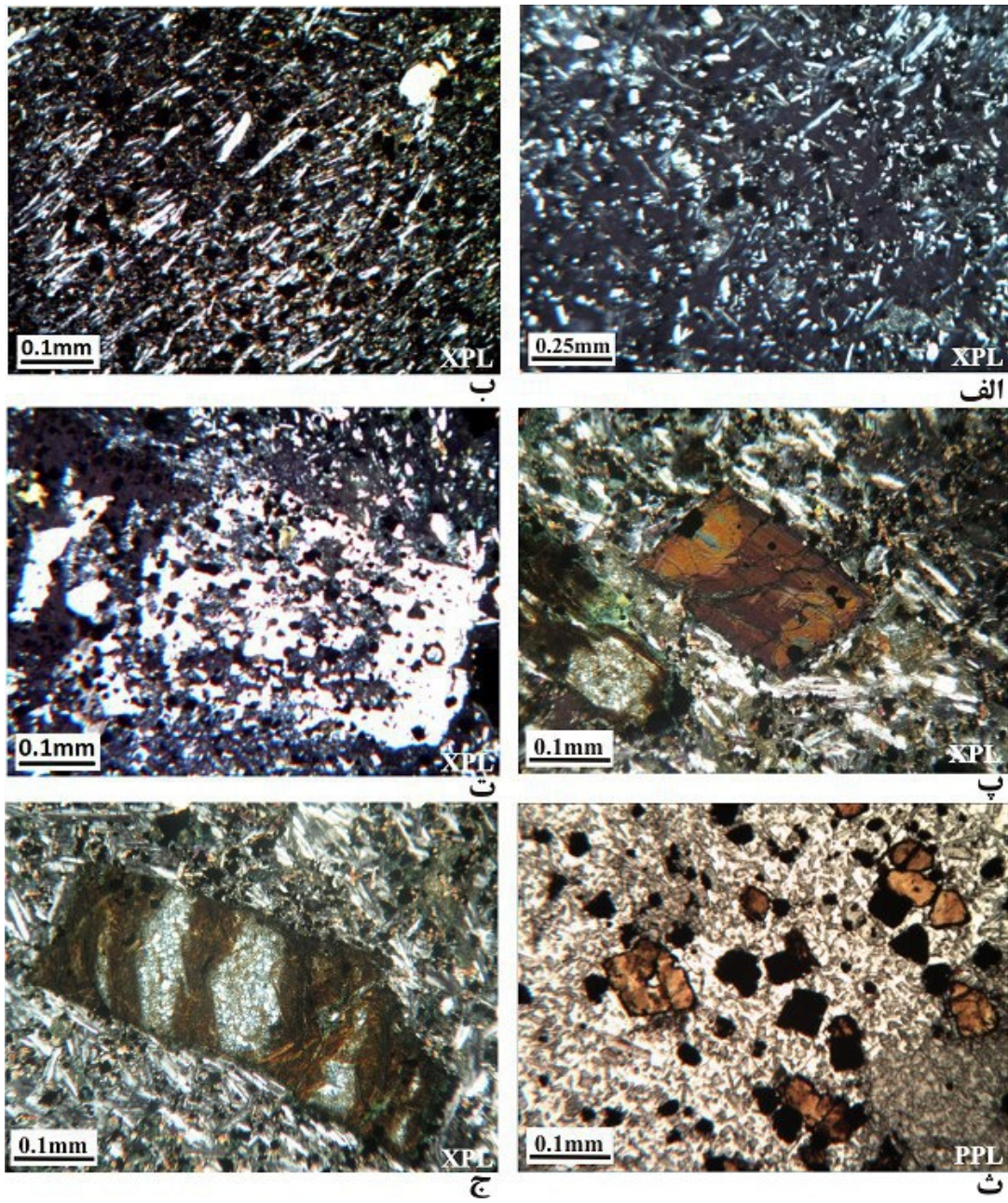
### سنگ‌شناسی توصیفی

نمونه سنگ‌های برداشت شده از بیشتر روانه‌های مورد بررسی، کانی‌شناسی مشابهی دارند و همانند مقیاس ماکروسکوپی، در مقیاس میکروسکوپی نیز از نظر بافت و اندازه دانه همگن هستند و با داشتن ریزدرشت بلورهای پلازیوکلاز ( $./.30$ )، پیروکسن ( $./.10$ )، الیوین ( $./.5$ ) و کمتر از یک درصد آپانیت و اکسیدهای آهن-تیتان در یک بافت شیشه‌ای ریزسنگی پورفیری و تراکیتی مشخص می‌شوند (شکل ۳ الف، ب). در ادامه به بررسی ویژگی‌های سنگ‌نگاری نمونه‌ها در مقیاس میکروسکوپی می‌پردازیم:

**پلازیوکلاز:** بیشتر پلازیوکلازهای این سری گدازه‌ها به صورت ریزسنگی و گاه ریزدرشت بلوری دیده می‌شوند. ریزسنگ‌های پلازیوکلاز گاهی بدون جهت یافتگی (شکل ۳ الف) و گاه با بافت جریانی و نیز به شکل‌های دم پرستویی (شکل ۳ ب) دیده می‌شوند که این خود نشانگر سرعت بالای انتشار به هنگام سرد شدن سریع است [۲۸]. بالا بودن درصد حجمی ریزسنگ‌ها

انباستهای اسفلولیتی در مراحل بعدی و طی مرحله انجامد گاز کافت گدازه‌ها، در نتیجه باز تبلور و در اثر گازهای آتشفسانی ایجاد شده‌اند.

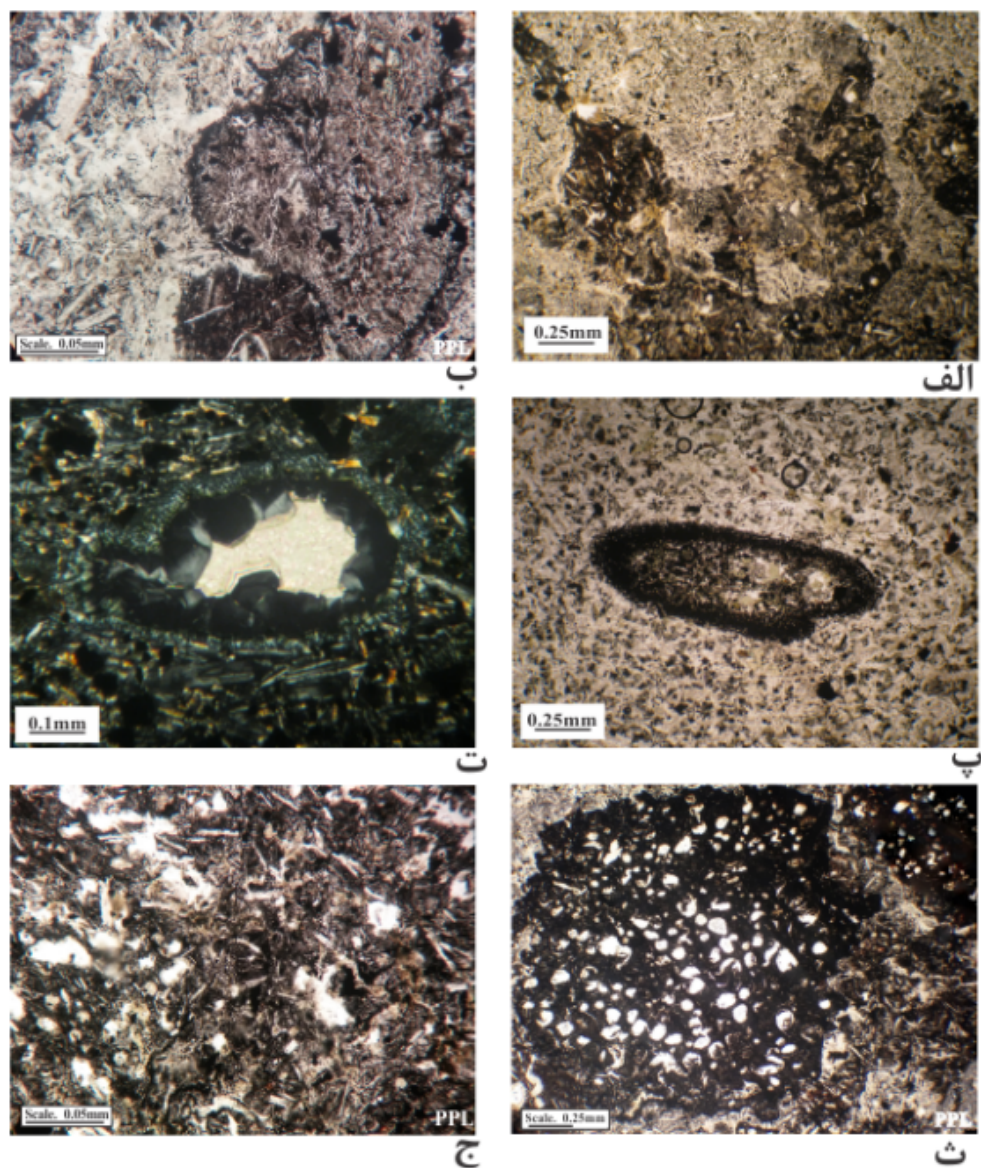
[۲۹]. درشت‌بلورهای الیوین اغلب به صورت خودشکل یا نیمه-خود شکل هستند. همچنین دیده می‌شود که بعضی از شکستگی‌ها و حفره‌های الیوین توسط انباستهای اسفلولیتی ثانویه متولد از کانی‌های کوارتز پرشده است (شکل ۳ ج). این



شکل ۳ تصاویر میکروسکوپی روانه گدازه‌های مورد بررسی: (الف) بافت شیشه‌ای ریزدانه (نمونه S.11a) شامل ریزسنگ‌های پلازیوکلаз، پیروکسن و کانی‌های کدر در یک خمیره شیشه‌ای؛ (ب) بافت تراکیتی (نمونه S.15) شامل ریزدرشت بلورها و ریزسنگ‌های جهت یافته پلازیوکلاز، پیروکسن و کانی‌های کدره؛ (پ) درشت‌بلور اوزیت با منطقه‌بندی ساعت‌شنبی در زمینه‌ای با بافت تراکیتی (نمونه S.9a)؛ (ت) بافت غربالی، خوردگی و ایجاد بافت اسکلتی در درشت بلور پیروکسن (نمونه S.14)؛ (ث) ریزدرشت بلورهای الیوین ایدینگزیتی شده دارای لبه کدر شده و کانی‌های کدر همراه با مقادیر کمی (کمتر از ۰.۱٪) آپاتیت (نمونه S.12)؛ (ج) الیوین تجزیه شده به ایدینگزیت و بولانژیت با شکستگی‌های پرشده توسط انباستهای اسفلولیتی (نمونه S.9a).

نمونه‌ی روانه گدازه‌ی زیر این روانه (نمونه‌ی S.10) نیز نسبت به سایر نمونه‌های برداشت شده‌ی توالی، دارای ویژگی‌های بافتی منحصر به‌فردی به شرح زیر است:

- ۱- بافت لکه‌ای ناشی از آمیختگی دو مذاب (شکل ۴ الف) با ترکیب بسیار متفاوت از هم (تیره و روشن). قسمت‌های تیره و روشن به شکل نیمه‌گرد تا گرد (شکل ۴ ب) و گاه در هم فرورفته هستند. بافت قطعات نیز در بیشتر موارد شیشه‌ای ریزسنگی و تراکیتی است. برخی قطعات مافیک به صورت ریزبالشتک با لبه انجام‌داد سریع (شکل ۴ پ) دیده می‌شوند.



شکل ۴ تصاویر میکروسکوپی از بافت‌های نامتعادل رخساره آب‌آواری (نمونه ۱۰.S): (الف) آمیختگی مذاب‌های مافیک (قسمت تیره) و فلسیک (قسمت روشن) به صورت ورود زبانه‌های مافیک به درون قسمت فلسیک (بافت لکه‌ای); (ب) آمیختگی قطعات گرد شده مافیک (تیره‌رنگ) در زمینه فلسیک (رنگ روشن؛ پ) یک حفره تفکیکی شامل کلسیت در مرکز و مذاب در لبه؛ (ث) قطعه بُوکه مافیک در بردارنده حفره‌های فراوان در میان قسمت فلسیک؛ (ج) حفره‌ها و تراشه‌های فراوان در قسمت فلسیک.

آپاتیت: آپاتیت به صورت بلورهای ریزسنگی با درصد حجمی ناچیز (کمتر از ۲٪) دیده می‌شود. فقط در یکی از نمونه‌های دارای شبه ریخت‌های الیوین، بلورهای سوزنی کشیده و مقاطع عرضی شش‌گوش این کانی در زیر میکروسکوپ به روشنی دیده می‌شوند (شکل ۳ ث).

چنانکه پیش‌تر اشاره شد یکی از روانه‌های برداشت شده دارای بافت برشی مشخص است (شکل ۲ ت) و همین، تهیه نمونه‌ی شاخص از آن برای بررسی‌های سنگنگاری را غیر ممکن می‌ساخت. با این حال، نکته جالب توجه این است که

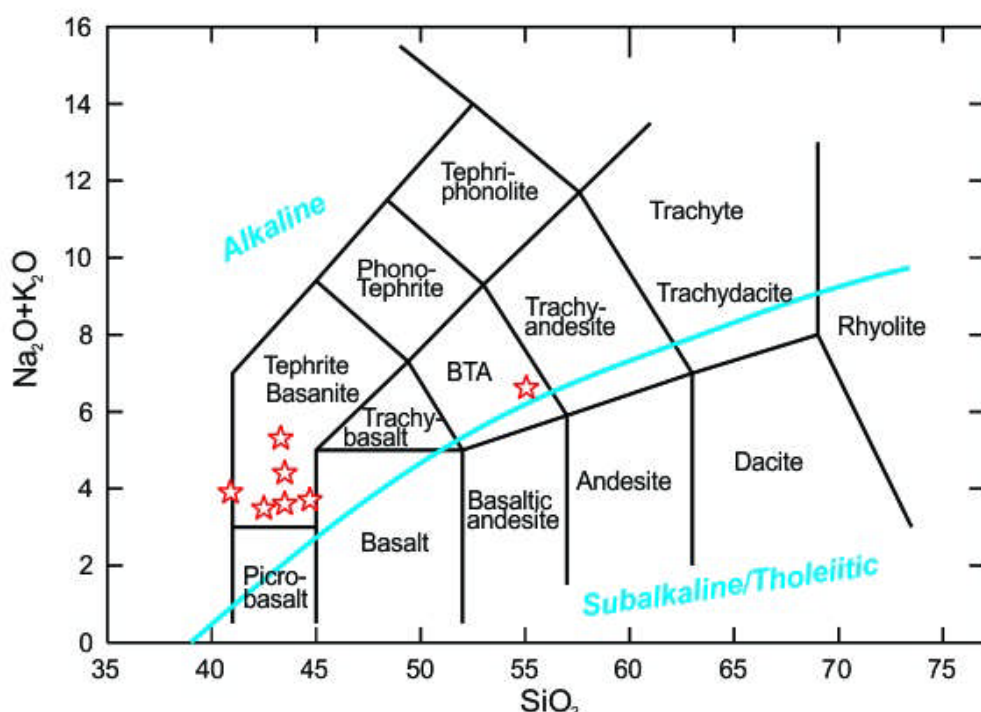
لذا با توجه به مشخصات بافتی، می‌توان این روانه (S.10) را مقدمه‌ای برای خروج و ظهور روانه بعدی دانست که ساخت برش مانند برجسته‌تری در مقیاس رخمنون دارد. در نتیجه، می‌توان گفت که این روانه گدازه برخلاف دیگر روانه‌های پایین‌تر و بالاتر، فراورده فوران انفجاری است که به دلیل برخورد با آب دریا، سبک انفجاری آن تشدید شده است. از این‌رو می‌توان آن را یک رخساره آب‌آواری معروفی کرد.

#### زمین‌شیمی

چنانکه در جدول ۱ مشخص است جز نمونه S.10 (با مقدار سیلیس ۵۴٪ و قلیایی‌های ۶٪)، بقیه نمونه‌ها در گستره محدودی از مقدار سیلیس (۴۰٪-۷۱٪) و مجموع قلیایی‌ها (۳۵٪-۴۴٪) قرار دارند. با توجه به نمودار رده‌بندی سیلیس-قلیایی کل در شکل ۵ [۳۵]، جز نمونه S.10 که یک تراکی-آندرزیت بازالتی است، بقیه نمونه‌ها از نوع تفریت-بازانیت هستند که با توجه به مقدار الیوین نورماتیو (کمتر از ۱۰٪)، از نوع تفریت هستند و از نظر سری‌های ماقمایی [۳۶]، جزء سری قلیایی محسوب می‌شوند و با توجه به مقدار بالای نسبت  $\text{Na}_2\text{O}/\text{K}_2\text{O}$  (بین ۰.۵-۲.۵) گرایش سدیمی دارند.

۲- میزان تخلخل بسیار (۳ تا ۴ برابر) بالاتر از سایر روانه‌ها: برخی از این حفره‌ها، به طور کامل با کانی‌های ثانوی (مانند کلسیت، زئولیت و کالسدونی) پر شده‌اند. در برخی از موارد نیز دیواره حفره‌ها با مذاب و بقیه قسمت‌های مرکزی حفره با کانی‌های ثانوی پر شده است (شکل ۴ ت). ورنون [۳۰] این‌گونه حفره‌ها را حفره‌های تفكیکی نامیده و معتقد است مذابی که بخشی از حفره را اشغال می‌کند نسبت به مذاب بیرون حفره، از K, Ti و P غنی‌تر است. وی بر اساس نتایج پژوهش‌های مختلف (برای مثال [۳۴-۳۱]) فرایند تشکیل حفره‌های تفكیکی را ناشی از زیادتر بودن فشار مذاب بیرون حفره می‌داند که باعث می‌شود بخشی از این مذاب، در اثر فشار به داخل حفره‌ها نشت کند. برخی [۳۱] ورود مگما به یک محیط پرسشار (مانند اقیانوس‌های عمیق) و برخی [۳۲، ۳۳]، پالایش فشاری گاز را علت این فشار بالاتر می‌دانند. پژوهشگران اخیر اعتقاد دارند که پس از تشکیل حفره‌های اولیه و ادامه تبلور گدازه در مذاب بین‌حفره‌ای، دوباره حباب‌های گاز جدیدی شروع به تشکیل می‌کنند که با فشار آوردن به مذاب بین‌حفره‌ای، مقداری از آن را به درون حفره‌های اولیه می‌راند.

۳- برخی از قطعات بسیار پر حفره (شکل ۴ ت) (با میزان حفره بالا) و نیز خرده‌های تراشه (شکل ۴ ج) هستند.



شکل ۵ نمودار رده‌بندی سیلیس-قلیایی کل [۳۵] و تعیین سری ماقمایی [۳۶].

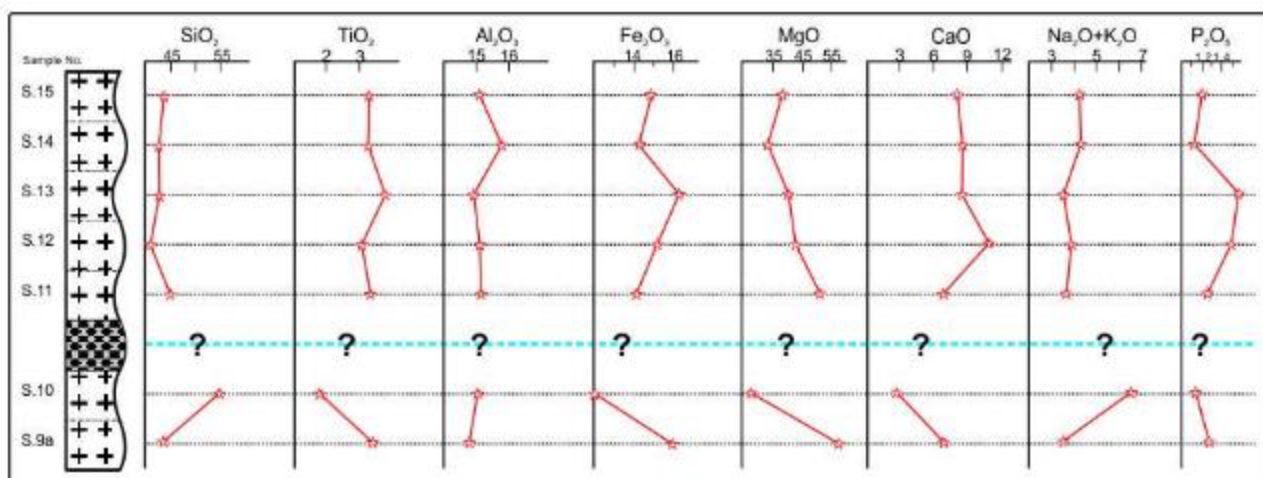
فورانی منطقه با یک تغییر شیمیابی است. از این‌رو به نظر می‌رسد که این ناهمگنی شیمیابی، نشان دهنده ورود یک مagmaی فلزیکتر (با مقدار سیلیس و قلیابی بیشتر و سازنده‌های مافیک کمتر) به درون مخزن مagmaی است.

#### نمودارهای عنکبوتی

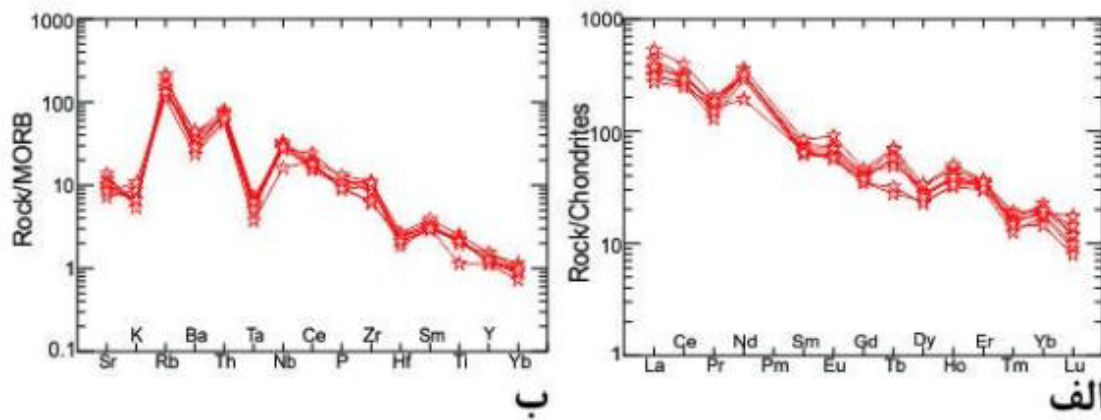
نمونه‌های مورد بررسی، در نمودارهای عنکبوتی عناصر خاکی نادر REE و چند عنصری (شکل ۷) الگوی مشابهی دارند و این نشان دهنده خاستگاه مشابه آن‌هاست. البته چنان که پیشتر اشاره شد، نمونه S.10 کمی متفاوت‌تر است. مهم‌ترین ویژگی‌های این نمودارها به این قرار است: غنی‌شدگی تقریباً ۱۰۰ برابری عناصر خاکی نادر سبک (LREEs) نسبت به سنگین (HREEs)، ناهنجاری مشبت Th, Rb, Tb, Eu, Nd و HFSEs، نیز برخی عناصر با شدت میدان بالا (HFSEs)، ناهنجاری منفی Ti, Nb و نبود ناهنجاری منفی K.

#### تغییرات عناصر اصلی در بین روانه‌ها

چنانکه در بخش روابط صحرایی اشاره شد، در بین سری گدازه‌های پیاپی در بُرُش مورد بررسی، تهیه نمونه از یکی از روانه‌ها به دلیل دارا بودن بافت برشی قابل ملاحظه برای انجام بررسی‌های سنگنگاری و تجزیه شیمیابی غیر ممکن بود. ولی نمودار تغییرات عناصر اصلی بین روانه‌های مورد بررسی، نتایج جالبی را عرضه می‌کند (شکل ۶). چنانکه در شکل ۶ دیده می‌شود، عناصر اصلی در نزدیکی آن واحد برشی، تغییرات قابل ملاحظه‌ای را نشان می‌دهد، به طوری که مقدار SiO<sub>2</sub> و CaO و MgO .Fe<sub>2</sub>O<sub>3</sub>, TiO<sub>2</sub> افزایش و مقدار Na<sub>2</sub>O+K<sub>2</sub>O کاهش مشخصی می‌یابد. چنان که در بخش پیش گفته شد، روانه‌ی زیرین این روانه (نمونه S.10) نیز مشخصه‌های بافتی ویژه‌ای دارد که احتمالاً نتیجه یک فوران انفجاری آب‌آواری است. در اینجا نیز آنچه آشکارتر است همراهی تغییر سبک



شکل ۶ نمودار تغییر مقادیر اکسیدهای عناصر اصلی در توالی نمونه‌های برداشت شده (بدون مقیاس). علامت؟ مربوط به نمونه آب‌آواری (شکل ۲) است.



شکل ۷ نمودارهای عنکبوتی بهنجار شده: الف) عناصر خاکی نادر [۳۷] و ب) چند عنصری [۳۸]

(افوزیف)، ضربان‌های انفجاری با ترکیبی متفاوت‌تر نیز روی داده‌اند.

#### فوران‌های هیدرومگمایی افزایش

به دلیل سالم و شکسته نبودن بلورهای ریز اغلب سنگ‌های آتشفشاری منطقه، گدازه‌های دربردارنده آن‌ها را می‌توان فراورده فوران‌های غیر انفجاری دانست. به نظر بیشتر پژوهشگران (به طور مثال [۴۹، ۴۸]) بیشتر فوران‌های بازالتی زیردریایی در آب‌های عمیق بیش از چند صد متری، معمولاً انفجاری نیستند. زیرا زیر فشار هیدروستاتیک، مواد فرار موجود در مagma به صورت محلول باقی می‌مانند. به همین دلیل گسیختگی magma می‌صورت نمی‌گیرد و میزان حفره‌ها با افزایش عمق فوران به تدریج کاهش می‌یابد. همچنین کوکلار [۵۰] معتقد است که اگرچه نامحلول شدگی و انبساط مواد فرار تنها عامل خردشده‌گی magma در زیر آب نیست، ولی به‌هرحال عامل مهمی است. وی عمق خردشده‌گی مواد فرار (یا<sup>۱</sup> VFD) که عبارت از عمقی از آب است که در آنجا، مواد فرار magma می‌توانند با چیرگی بر فشار هیدروستاتیک، نامحلول شوند) را برای تولیت‌ها ۱۰۰–۲۰۰ متر، برای بازالت‌های قلیایی سرشار از مواد فرار حدود ۷۸۰ متر و برای بازالت‌های کمان آتشفشاری و کرانه قاره‌ها بالاتر گزارش کرده است. با این حال، شواهدی از خردشده‌گی انفجاری در منطقه آتشفشاری شمال هاوایی در اعماق بیش از ۴۲۰۰ متر [۵۱] و نیز بخش‌هایی از پشت‌هه میانی اقیانوس اطلس در جنوب غرب آزور [۵۲] گزارش شده است.

در نمونه‌های مورد بررسی با توجه به وجود بافت بسیار ریزدانه و مقدار حفره‌های متغیر گدازه‌ها که گاه به ۱۵٪ نیز می‌رسد، هیچ‌گونه بافت انفجاری دیده نمی‌شود. لذا می‌توان فوران magma در منطقه مورد بررسی را نوعی فوران غیرانفجاری در نظر گرفت. در نتیجه از یکسو می‌توان حوضه دریایی محل فوران را یک حوضه نسبتاً عمیق دانست که وقوع هرگونه انفجاری را غیرممکن ساخته و از سوی دیگر به دلیل بافت بسیار ریزدانه (بیشینه مقدار درشت بلور به ۳۵٪/۳۰٪ می‌رسد) و نبود هرگونه ساخت پیلولایی، احتمالاً سرعت بیرون‌ریزی گدازه‌ها نسبتاً بالا بوده است. از این رو به نظر می‌رسد که این گروه از گدازه‌ها از نوع گدازه‌های زبانه‌ای<sup>۲</sup> یا روانه‌های صفحه‌ای باشند [۴۸].

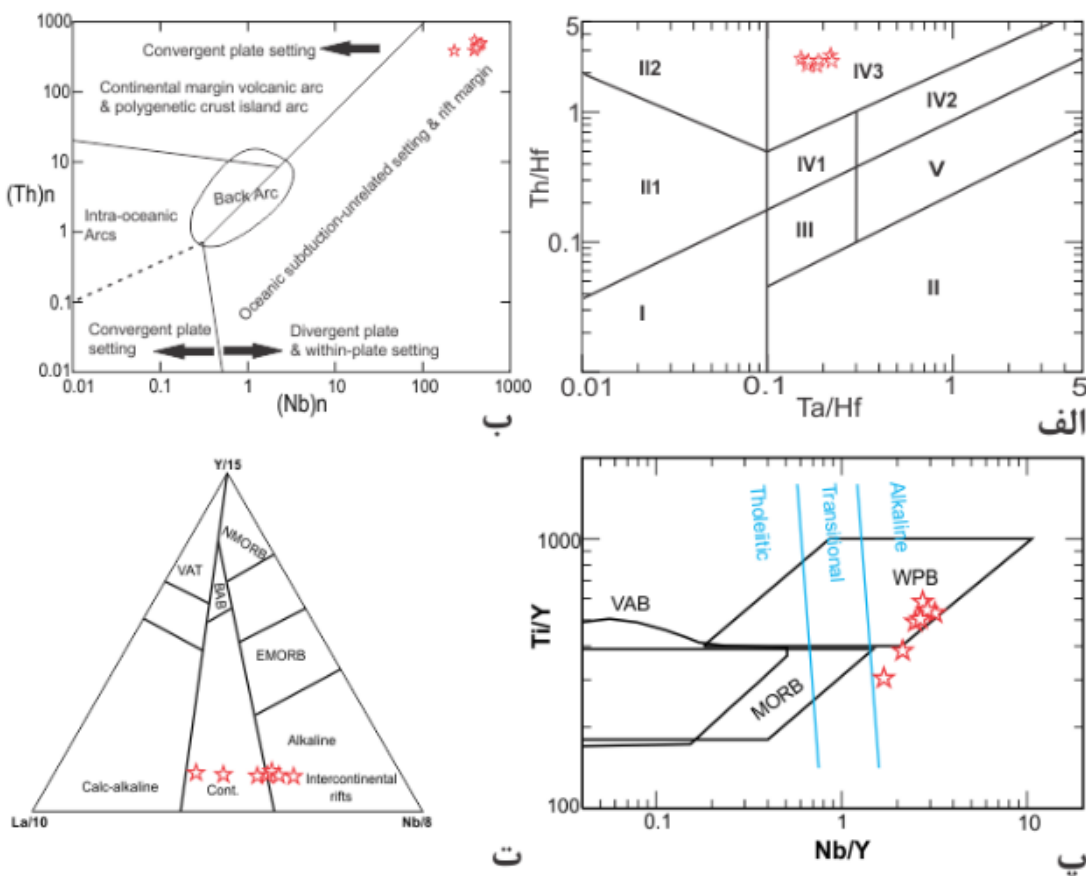
LREE‌ها نسبت به HREE‌ها را به عواملی چون غنی‌شدگی منبع گوشته‌ای، درجه کم ذوب‌بخشی و آلایش پوسته‌ای نسبت داده‌اند. به علاوه برخی [۴۳، ۴۲]، الگوی با شب منفی در نمودار عنکبوتی REE را از شاخص‌های محیط‌های خاستگاه P-, E-MORB و MORB OIB می‌دانند. بهویژه آنکه نمونه‌های مورد بررسی ویژگی‌های مناطق فروزانش (چون ناهنجاری منفی Nb و Ti و ویژگی‌های ناهنجاری مثبت عناصر سنگ‌دوست بزرگ یون، LILEs) را نیز نشان نمی‌دهند. با این حال آنها در عناصر Hf و Ta ناهنجاری منفی نشان می‌دهند که از ویژگی‌های مناطق فروزانش است. البته با توجه به عدم مشاهده‌ی دیگر ویژگی‌های زمین‌شیمیایی شاخص مناطق فروزانش، باید علت را در فرایندهای دیگری چون تأثیر فرایندهای مخزن magma (مانند ذوب‌بخشی، آلایش و جدایش) یا پیچیدگی محیط‌های زمین-ساختی جستجو کرد.

#### محیط زمین‌ساختی

نمونه‌های مورد بررسی از نظر محیط زمین‌ساختی، ویژگی‌های زمین‌شیمیایی مناطق کافتی قاره‌ای را نشان می‌دهند. به طوری که در نمودار مرجع [۴۴] در محیط کششی درون قاره یا کافت‌های اولیه (شکل ۸ الف)، در نمودار مرجع [۴۵] در محیط‌های واگرای کافتی درون صفحه‌ای و بدون ارتباط با مناطق فروزانش (شکل ۸ ب)، در نمودار مرجع [۴۶] از نوع magma‌های قلیایی درون صفحه‌ای (شکل ۸ پ) و در نمودار مرجع [۴۷] از نوع magma‌های قلیایی کافت‌های درون قاره‌ای (شکل ۸ ت) واقع می‌شوند. با این حال چنانکه در شکل ۸ ت دیده می‌شود، آنها برخی تمايلات به سمت مناطق قاره‌ای را نیز نشان می‌دهند. لذا احتمال بروز آلایش magma با پوسته‌ی قاره‌ای وجود دارد.

#### بحث و بررسی

توالی روانه گدازه‌های بازالتی چینه‌سان کرتاسه در منطقه سپارده واقع در پهنه البرز مرکزی ترکیب یکنواخت و بسیار ریزدانه دارند و به دلیل نبود افق‌های خاک قرمز بین روانه‌ها و نیز شواهد چینه‌شناسی، از طریق فوران‌های زیردریایی بیرون آمدند. با این حال بررسی دقیق ویژگی‌های بافتی گدازه‌های پیاپی منطقه نشان می‌دهد که گدازه‌های منطقه برآمده از دو نوع فوران هیدرومگمایی غیرانفجاری (افوزیف) و انفجاری هستند. به طوری که گاه در بین فوران‌های غیرانفجاری



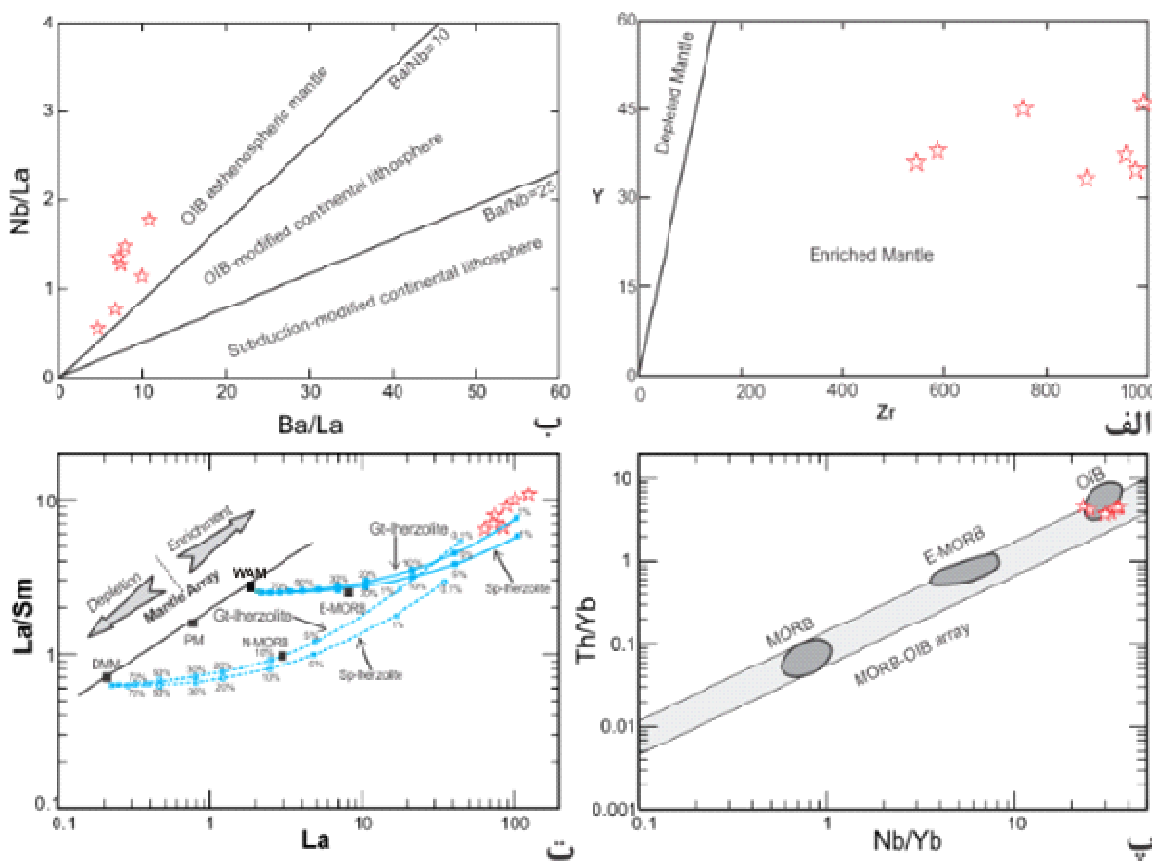
شکل ۸ نمودارهای تشخیص محیط زمین‌ساختی سنگ‌های آتشفشاری منطقه سپارده: نمونه‌های آتشفشاری در گستره بازالت‌های مناطق کمربندی‌های کشنی درون قاره‌ای یا کافت اولیه، در گستره محيط‌های واگرای کافتی درون صفحه، در نمودار(ب) [۴۶]، در گستره بازالت‌های درون صفحه‌ای و در گستره قلیایی، و در نمودار (ت) [۴۷]، در گستره مagmaهای قلیایی کافت‌های درون صفحه‌ای واقع شده‌اند. (علائم اختصاری شکل الف): I = منطقه N-MORB در کناره صفحات واگرای، II = بازالت‌های لبه صفحات همگرا، III = بازالت‌های کمان اقیانوسی، II2 = بازالت‌های کرانه قاره‌ای، III = مناطق MORB - نوع E و MORB نوع T و بازالت‌های جزایر اقیانوسی درون صفحه اقیانوسی، IV = بازالت‌های درون صفحه‌ای قاره‌ای، IV1 = کافت‌های درون قاره‌ای+ تولیت‌های کافت‌های کرانه‌ی قاره، IV2 = بازالت‌های قلیایی کافت‌های درون قاره‌ای، IV3 = بازالت‌های مناطق کمربندی‌های کشنی درون قاره‌ای یا کافت اولیه، V = بازالت‌های زیانه‌های مناطق گوشته‌ای؛ شکل پ) MORB: بازالت‌های پشت میان اقیانوسی؛ VAB: بازالت‌های کمان آتشفشاری؛ WPB: بازالت‌های درون صفحه‌ای؛ (شکل ت) BAB: بازالت‌های پشت کمان آتشفشاری؛ NMORB: بازالت‌های غنی شده پشت میان اقیانوسی؛ EMORB: بازالت‌های عادی پشت میان اقیانوسی و VAT : تولیت‌های کمان آتشفشاری)

ناشی از سرد شدن یکباره‌ی magma در اعمق زیاد آب. در حالی که برخی [۴۹] انفجارهای magma در زیر آب را به روش‌های مختلف آزاد شدن مواد فرآر و گسیختگی magma دربردارنده آن‌ها نسبت می‌دهند که از آن جمله می‌توان به گسیختگی magma در محل دهانه، انباشتگی گاز در قسمت کف-آلوه بالای مخزن، سرعت کم صعود magma پرگاز و انباشتگی گاز در زیر مجرای بسته شده اشاره کرد.

**فوران هیدرومگمایی انفجاری**  
با وجود محدودیت‌های یاد شده برای فوران انفجاری در زیر آب‌های عمیق، مشاهده‌ی یک روانه آذرآواری هیدرومگمایی در میانه توالی، نشان از یک وضعیت عدم تعادل در مخزن magma دارد. کوکلار [۵۰] رخداد فوران‌های انفجاری در زیر آب شدن مواد فرآر در اعمق کم آب، انفجار بخار هنگام تماس magma با توده آب سرد خارجی و دانه‌دانه شدن magma براثر انقباض

نسبت  $Ba/Nb$  در نمونه‌ها، چنین ماقمایی شباهت بیشتری به گوشه‌ی سست کره‌ای OIB دارد [۵۴] (شکل ۹ ب). چنین نتیجه‌ای با نمودار  $Th/Yb$  نسبت به  $Nb/Yb$  [۳۷] نیز تأیید می‌شود (شکل ۹ پ).

از طرفی ترسیم نمونه‌ها در نمودار پتروژنتیکی  $La/Sm$  در مقابل  $La$  [۵۵] (شکل ۹ ت) نشان می‌دهد که نمونه‌ها از ذوب بخشی  $1\text{--}3$  درصد یک منبع گارنت لرزولیتی به وجود آمده‌اند که می‌تواند خاستگاه مناسبی برای ماقماهای از باشد. بهویژه آنکه نمونه‌های مورد بررسی غنی‌شدگی شدیدی از عناصر LREE نسبت به HREEs نیز نشان می‌دهند (شکل ۷ الف).



شکل ۹ نمودارهای سنگزایی (الف) تفکیک گوشه‌های قاره‌ای از گوشه‌ی سست کره‌ای [۵۴]؛ ب) تفکیک سنگ‌کرده از غنی‌شده [۵۳]؛ ت) تشخیص خاستگاه نمونه‌ها با توجه به درصد ذوب بخشی منبع [۵۵] (علامت اختصاری شکل ب) OIB : بازالت‌های جزایر اقیانوسی؛ شکل پ) EMORB : بازالت‌های غنی‌شده پشته میان‌اقیانوسی؛ شکل ت) DMM: گوشه‌ی سسته OIB تهی‌شده؛ PM : گوشه‌ای اولیه؛ WAM : گوشه‌ای غرب آناتولی؛ Gt: گارنت؛ Sp: اسپینل. خطوط آبی توپر مربوط به درجات ذوب بخشی گوشه‌ی غرب آناتولی (WAM) و خطوط آبی خط‌چین مربوط به درجات ذوب بخشی گوشه‌ی سسته MORB تهی‌شده (DMM) است.

اما وضعیت ویژه‌ای که در منطقه سپارده وجود دارد، همراهی این عدم تعادل فیزیکی در مخزن ماقمایی منطقه با یک تغییر قابل ملاحظه‌ای در ترکیب شیمیایی است. در نتیجه می‌توان چنین فرض کرد که مخزن ماقمایی مافیک و کم سیلیس منطقه به دلیل رویارویی با ماقماهای فلزیک‌تر با مواد فرار بیشتر، دچار نوعی عدم تعادل فیزیک‌شیمیایی و در نتیجه آزاد سازی مواد فرار هنگام صعود و در نهایت گسیختگی ماقمایی شده است.

### سنگزایی

ویژگی‌های زمین‌شیمیایی سنگ‌های ماقمایی منطقه نشان می‌دهد که ماقمای منطقه از یک گوشه‌ی غنی‌شده به وجود آمده است [۵۳] (شکل ۹ الف). به علاوه با توجه به کم بودن

بسته در نظر گرفت. نتیجه‌ی چنین فرایندی در این سیستم مگمایی، ایجاد یک وارونگی در مخزن مگمایی دورگه است [۶۳]. چراکه مگمایی مافیک زیرین با تحمل سردشدن سریع، دچار تبلور و نامحلول‌شدگی مواد فرآر شده و سبک‌تر می‌شود. سپس بهصورت تکه‌هایی از میان مگمای اسیدی روان شده، بالا می‌آید [۶۱] که ضمن بروز آمیختگی فیزیکی با مگمای اسیدی، افزایش حجم ناشی از ازدیاد حجم در مخزن و نیز گازهای نامحلول‌شده‌ی آن، بر دیواره‌های مخزن مگمایی فشار وارد کرده و دستگاه آتشفشنایی را شکسته و بهصورت انفجری فوران می‌کند [۶۲].

#### برداشت

روانه گدازه‌های چینه‌سان منطقه سپارده بر اساس شواهد چینه‌شناسی، سن کرتاسه پسین (آپتین-آلبین) دارند که در یک محیط اقیانوسی نسبتاً عمیق بهصورت پیوسته و غیر انفجری فوران کرده‌اند. با این حال، گاهی به دلیل ناپایداری‌های فیزیکوشیمیایی مخزن مگمایی (چون تغییر ترکیب شیمیایی و تغییر گریزندگی مواد فرآر)، فوران‌های انفجری نیز صورت گرفته‌اند.

این گدازه‌ها ترکیب قلیایی سدیمی دارند و از یک گوشه‌ی گارنت لرزولیتی غنی‌شده‌ی OIB سرچشمه گرفته‌اند. پژوهشگران مختلف [۱۱، ۱۰-۳-۱] اعتقاد دارند که فعالیت آتشفشنایی کرتاسه در البرز شمالی در یک محیط اقیانوسی پشت کمان صورت گرفته است. صلواتی و همکاران [۸] نیز مجموعه سنگ‌های مافیک-فرامافیک کرتاسه شرق گیلان را به عنوان یک سری افیولیتی معرفی کرده‌اند. البته وجود مناطق کششی موضعی، در یک نظام زمین‌ساختی فشاری دور از انتظار نیست [۶۴]. به علاوه، این مخزن مگمایی، نشانه‌های روشنی از آمیختگی مگماهای مافیک و اسیدی را نشان می‌دهد. از این رو به نظر می‌رسد که ورود مگمایی گوشه‌ای به درون سنگ-کره موجب ذوب‌بخشی آن و تشکیل مگمایی اسیدی شده و در نهایت با ضربان‌های جدیدتر مگمایی مافیک آمیخته شده است که نتیجه آن تولید گدازه‌های دورگه ناشی از فوران‌های انفجری است.

#### قدردانی

از داوران محترم این مقاله که پاسخ به ابهامات آنها موجب ارتقای سطح علمی این مقاله گردید کمال تشکر و امتنان را داریم.

به نظر الیسی و همکاران [۵۶]، بازالت‌های جزایر اقیانوسی (OIB) تنها از گوشه‌ی سست کره‌ای سرچشمه می‌گیرند. به عقیده‌ی فیتون و همکارش [۵۷] نیز ذوب بخشی درجه پایین گوشه‌ی سست کره‌ای، به تشکیل مذاب‌های قلیایی قاره‌ای می‌انجامد. درصورتی که برخی پژوهشگران [۵۸] معتقدند که مگماهای قلیایی فراورده واکنش مذاب سست کره‌ای با گوشه سنگ‌کره‌ای هستند. از سوی دیگر برخی [۶۰، ۵۹] معتقدند که گوشه سنگ‌کره‌ای از نظر عناصر HFSE تهی‌شده‌تر از LREE‌ها هستند و بنابراین مقادیر Nb/La بالاتر از یک، گویای یک گوشه‌ی سست کره‌ای و مقادیر پایین‌تر از ۰/۵ بیانگر یک منبع گوشه سنگ کره‌ای است. به این ترتیب، چنانکه ترکیب شیمیایی نمونه‌ها (جدول ۱) و نیز شکل ۹ ب نشان می‌دهد، نسبت Nb/La جز در دو نمونه S.10 و S.12 (با نسبت Nb/La به ترتیب ۰،۵۶ و ۰،۷۶)، در بقیه نمونه‌ها در گستره‌ی ۱/۱۳ تا ۱/۷۷ قرار دارد و از این رو می‌توان آن‌ها را از خاستگاه گوشه‌ی سست کره‌ای به شمار آورد. چنان که پیشتر نیز اشاره شد، نمونه‌ی S.10 بنابر شواهد سنگ‌نگاری و زمین‌شیمیایی، نمونه‌ی ویژه‌ای است که احتمالاً برآمده از آمیختگی مذاب‌های مافیک (گوشه‌ای) و فلزیک است و لذا ویژگی‌های مذاب‌های آمیخته سست کره‌ای -سنگ‌کره‌ای را نشان می‌دهد. از سوی دیگر چنین نمونه‌ای نتیجه یک فوران انفجری نیز هست. لذا به نظر می‌رسد که دو رخداد آمیختگی مگمایی و فوران انفجری با یکدیگر در ارتباط هستند. به نظر آیکلبرگر [۶۱] وقتی که یک مگمای مافیک به درون یک مخزن مگمایی اسیدی وارد می‌شود، نوعی لایه‌بندی یا منطقه‌بندی در مخزن پدید می‌آید که در آن، مگمای مافیک به دلیل چگالی بیشتر، در زیر مگمای اسیدی قرار می‌گیرد و هیچ‌گونه تعادل شیمیایی و گرمایی در سطح تماس بین آن‌ها وجود ندارد. این بدان معنی است که از یکسو مگمای اسیدی که تا پیش از تزریق مگمای مافیک، به‌آرامی در حال سرد شدن بود، حالا دچار فراتافتگی و همرفت فزاپنده می‌شود و از سوی دیگر مگمای بازی هنگام نفوذ در آشیانه سردتر، دچار افت دمایی بسیار شده و درنتیجه تکه‌تکه می‌شود و بهصورت مجموعه‌های بالشی شکلی با مگمای اسیدی آمیخته می‌شود [۶۲]. آیکلبرگر [۶۱] معتقد است که به دلیل بالاتر بودن سرعت انتشار گرمایی نسبت به انتشار شیمیایی، می‌توان چنین سیستمی را نسبت به تبادلات گرمایی، باز و نسبت به تبادلات شیمیایی (مثلًا  $H_2O$ )

## مراجع

- [12] Annells R.N., Arthurton R.S., Bazley R.A.B., Davies R.G., Hamed M.A.R., Rahimzadeh f., "Geological Quadrangle Map of the Qazvin And Rasht (1:250 000)" Geological Survey of Iran, Tehran (1975).
- [13] Eftekharnezhad J., Ghorashi M., Mehrpato, "Geological Quadrangle Map of the Tabriz-Poldasht (1:250 000)" Geological Survey of Iran, Tehran (1991).
- [14] Ghorashi M., Arshadi S., "Geological Quadrangle Map of the Khoy (1:250 000)" Geological Survey of Iran, Tehran (1978).
- [15] Eftekharnezhad J., "Geological Quadrangle Map of the Mahabad (1:250 000)" Geological Survey of Iran, Tehran (1973).
- [16] Shahrabi M., "Geological Quadrangle Map of Urumiyeh scale (1:250,000)" Geological Survey of Iran, Tehran (1985).
- [17] Stocklin J., Eftekharnezhad J., "Geological Quadrangle Map of Zanjan scale (1:250,000)" Geological Survey of Iran, Tehran (1969).
- [18] Alavi M., Amidi M., "Geological Quadrangle Map of the Takab (1:250 000)" Geological Survey of Iran, Tehran (1976).
- [19] Vahdati-Daneshmand F., Saidi A., "Geological Quadrangle Map of Sari scale (1:250,000)" Geological Survey of Iran, Tehran (1991).
- [20] Asadian O., Oskoi, A.A. "Geological Quadrangle Map of the Moghan (1:250 000)" Geological Survey of Iran, Tehran (1994).
- [21] Amidi M., "Geological Quadrangle Map of the Mianeh (1:250 000)" Geological Survey of Iran, Tehran (1978).
- [22] Davies R., "Geological Quadrangle of the Bandar-E-Pahlavi (1:250 000)" Geological Survey of Iran, Tehran (1977).
- [23] Rahimzadeh F., Babakhani A.R., "Geological Quadrangle Map of the Ardabil (1:250 000)" Geological Survey of Iran, Tehran (1987).
- [24] Vahdati-Daneshmand F., "Geological Quadrangle Map of Amol scale (1:250,000)" Geological Survey of Iran, Tehran (1991).
- [25] Amidi M., Lescuyer J.L., Riou, R., "Geological Quadrangle Map of the Ahar (1:250 000)" Geological Survey of Iran, Tehran (1978).
- [26] Shahidi A., "Evolution Tectonique du Nord de l'Iran (Alborz et Kopet-Dagh) depuis le Mésozoïque" Ph.D. thesis, Géosciences et Ressources Naturelles-Paris, Univ. Pierre et Marie Curie (2008a) 500p.
- [27] Baharfiruzi K.h., Shafeii A.R., Azhdari A., Karimi H.R., contribution of Pirouzi M.,
- [1] Golonka J., "Plate tectonic evolution of the southern margin of Eurasia in the Mesozoic and Cenozoic" Tectonophysics 381( 2004) 235–273.
- [2] Berra F., Zanchi A., Mattei M., Nawab A., "Late Cretaceous transgression on a Cimmerian high (Neka Valley, Eastern Alborz, Iran): A geodynamic event recorded by glauconitic sands" Sedimentary Geology 199 (3-4) (2007) 189-204.
- [3] Ehteshami- Moinabadi m., Yassaghi A., Amini A., "Mesozoic basin inversion in Central Alborz, evidence from the evolution of Taleqan-Gajereh-Lar paleograbben" JGeope 2 (2) (2012) 43-63.
- [4] Shahidi A., Barrier E., Brunet M.F. Saidi A., "Tectonic Evolution of the Alborz in Mesozoic and Cenozoic", (in Farsi). Geosciences 81 (2011) 201-216.
- [5] Shahidi A., Barrier E., Brunet M. F., "Tectonic Evolution and late Triassic-Middle Eocene extension in central Alborz, Iran" Scientific Quarterly Journal (GSI), Vol 17 ( 2008b) 4-25.
- [6] Cartier E.G., "Die Geologie des unteren Chalus Tales, Zentral-Alborz/Iran" Diss. Zurich (1971) 134 pp.
- [7] Wensink H., Varekamp J.C., "Paleomagnetism of basalts from Alborz: Iran part of Asia in the Cretaceous" Tectonophysics 68 (1980) 113-129.
- [8] Salavati M., Kananian A., Noghreyan M., "Geochemical characteristics of mafic and ultramafic plutonic rocks in southern Caspian Sea Ophiolite (Eastern Guilan)" Arabian Journal of Geoscience 6 (2013) 4851–4858.
- [9] Haghnazir Sh., Malakotian S., "Petrography and Geochemistry of the Javaherdasht basalts (east of Guilan Province): The investigation of the role of crystal fractionation and crustal contamination in the magmatic evolution", (in Farsi). Iranian Journal of Crystallography and Mineralogy 17 (2009) 253-266..
- [10] Haghnazir Sh., "Petrology, Geochemistry and Tectonic setting of Javaherdasht Cretaceous gabbro in the north part of Alborz Mountains, East of Guilan, North of Iran: A part of ophiolite sequence or intra-continental rift?", (in Farsi). Iranian Journal of Petrology 10 (2012) 79-94.
- [11] Haghnazir Sh., Malakotian S., Allahyari Kh. "Tectono-magmatic setting of Cretaceous pillow basalts in the north part of the Alborz mountain in east of Guilan province (north of Iran): a part of ophiolite sequence or intra-continental rift?", (in Farsi). Geosciences 24 (2015) 171-182.

- [39] Alici P., Temel A., Gourgaud A., Kieffer G., Gundogdu, M. N., "Petrology and geochemistry of potassic rocks in the Gölcük area (Isparta, SW Turkey): genesis of enriched alkaline magmas" Journal of Volcanology and Geothermal Research 85 (1998) 423–446.
- [40] Krauskopf K. B., Bird D. K., "Introduction to geochemistry" McGraw-hill, Inc (1995) 647p.
- [41] Hirschman M. M., Ghiorso M. S., Stolper E. M., "Calculation of peridotite partial melting from thermodynamic models of minerals and melts" Journal of Petrology 39 (1998) 1091-1115.
- [42] Winter J. D., "An Introduction to Igneous and Metamorphic Petrology" Prentice Hall (2001).
- [43] Juteau T., Maury R., "La croute océanique, Pétrologie et Dynamique Endogène. Société Géologique de France Vuibert, Paris" Cedex 13 (2009) 470 pp.
- [44] Wang Y., Zhang C., Xia S., "Th/Hf-Ta/Hf identification of tectonic setting of basalts" Acta Petrologica Sinica 17 (2001) 413-421.
- [45] Saccani E., "A new method of discriminating different types of post-Archean ophiolitic basalts and their tectonic significance using Th-Nb and Ce-Dy-Yb systematics" Geoscience Frontiers 6 (2015) 481-501.
- [46] Pearce J.A., "Trace element characteristics of lavas from destructive plate boundaries" In: Thorpe, R.S. (Ed.), Andesites. Wiley, Chichester (1982) 525–548.
- [47] Cabanis B., Lecolle M., "Le diagramme La/10-Y/15-Nb/8: un outil pour la discrimination des séries volcaniques et la mise en évidence des processus de mélange et/ou de contamination crustale" Comptes Rendus de l'Académie des Sciences, Paris, II 309 (1989) 2023–2029.
- [48] Batiza R., White J.D.L., "Submarine Lavas and Hyaloclastite" In Sigurdsson H. (eds): Encyclopedia of volcanoes. Academic Press (2000) 361-381.
- [49] Head J.W., Wilson L., "Deep submarine pyroclastic eruptions: theory and predicted landforms and deposits" Journal of Volcanology and Geothermal Research 121(2003) 155-193.
- [50] Kokelaar P., "Magma-water interactions in subaqueous and emergent basaltic volcanism" Bull Volcanol 48 (1986) 275-289.
- [51] Davis A., Clague D.A., "Volcaniclastic deposits from the North Arch volcanic field, Hawaii: explosive fragmentation of alkalic lava at abyssal depths" Bull Volcanol 68 (2006) 294–307.
- "Geological Map of the Javaherdeh(1:100 000)" Geological Survey of Iran, Tehran (2002-2003).
- [28] Kendrick J.L., Jamieson R.A., "The fate of olivine in the lower crust: Pseudomorphs after olivine in coronitic metagabbro from the Grenville Orogen, Ontario" Lithos 260 (2016) 356-370.
- [29] Shelley D., "Igneous and metamorphic rocks under the microscope: Classification, textures, microstructures and mineral preferred orientations", London: Chapman and Hall (1992) 445pp.
- [30] Vernon R.H., "A Practical Guide to Rock Microstructure" Cambridge University Press, (2004).
- [31] Smith R. E., "Segregation vesicles in basaltic lava" American Journal of Science 265 (1967) 696–713.
- [32] Anderson A. T., Swihart G. H., Artioli G., Geiger, C. A., "Segregation vesicles, gas filter-pressing, and igneous differentiation" Journal of Geology 92 (1984) 55–72.
- [33] Sanders I. S., "Gas filter-pressing origin for segregation vesicles in dykes" Geological Magazine 123 (1986) 67–72.
- [34] Caroff M., Maury R. C., Cotten J., Clément J.-P., "Segregation structures and vapor-differentiated basaltic flows" Bulletin of Volcanology 62 (2000) 87-171.
- [35] Le Maitre R. W., Streckeisen A., Zanetti B., Le Bas M.J., Bonin B., Bateman P., Bellieni G., Dudek A., Efremova S., Keller J., Lameyre J., Sabine P.A., Schmid R., Sørensen H., Wooley A.R., "Igneous rocks, a classification and glossary of terms. (Recommendations of the international union of geological sciences subcommission on the systematics of igneous rocks)" Cambridge University Press, Cambridge, UK., (2002).
- [36] Irvine T.N., Baragar W.K.A., "A guide to the chemical classification of the common volcanic rocks" Canadian Journal of Earth Science 8 (1971) 523-548.
- [37] Sun S. S., McDonough W. F., "Chemical and isotopic systematics of oceanic basalts: implications for mantle composition and processes" In: Saunders A D, Norry M(eds) Magmatism in Ocean Basins. Geological Society of London Special Publication 42 (1989) 313-345.
- [38] Pearce J. A., "Role of the sub-continental lithosphere in magma genesis at active continental margins" In: Hawkesworth, C.J., and Norry, M.J., (eds), Continental basalts and mantle xenoliths. Shiva, Nantwich (1983) 230-249.

- [57] Fitton J. G., Upton B. G. J., "Alkaline Igneous Rocks. Geological Society Spec" Publ. No 3, Blackwell (1987) 568 p.
- [58] Menzies M. A., Hawkesworth C. J., "Mantle Metasomatism" Geology Series, Academic Press, London (1987) 472 p.
- [59] Bradshaw T. K., Smith E. I., "polygenetic Quaternary volcanism at Crater Flat, Nevada" Journal of Volcanology and Geothermal Research 63 (1994) 165-182.
- [60] Smith E. I., Sanchez A., Walker J. D., "Shemshak Group (Alborz Range, Northern Iran) based on organic petrography, geochemistry and basin modelling: implications for source rock evaluation and petroleum exploration" Geological Magazine, Cambridge University Press (CUP) 149 (1999) 19-38.
- [61] Eichelberger J., "Vesiculation of mafic magma during replenishment of silicic magma reservoirs" Nature 288 (1980) 446-450.
- [62] Sparks R.S.J., Sigurdsson H., Wilson L., "Magma mixing: a mechanism for triggering acid explosive eruptions" Nature 267 (1977) 315-318.
- [63] Woods A.W., Cowan A., "Magma mixing triggered during volcanic eruptions" Earth and Planetary Science Letters 288 (2009) 132-137.
- [64] Frisch W., Meschede M., Blakey R., "Plate tectonics: continental drift and mountain building". Springer-Verlag Berlin, Heidelberg 212p.
- [52] Fouquet Y., Eissen J.P., Ondréas H., Barriga F., Batiza R., Danyushevsky L., "Extensive volcaniclastic deposits at the Mid-Atlantic Ridge axis: results of deep-water basaltic explosive volcanic activity?" Terra Nova 10 (1998) 280-286.
- [53] McDonough W.F., Sun S. S., "The composition of the earth" Chemical Geology 120 (1995) 223-253.
- [54] Parker D.F., Hodges F.N., Perry A., Mitchener M.E., Barnes M.A., Ren M., "Geochemistry and petrology of late Eocene Cascade Head and Yachats Basalt and alkalic intrusions of the central Oregon Coast Range, U.S.A." Journal of Volcanology and Geothermal Research 198 (2010) 311-324.
- [55] Aldanmaz E., Koprubasi N., Gurer O. F., Kaymakci N., Gournaud A., "geochemical constraints on the Cenozoic, OIB-type alkaline volcanic rocks of NW Turkey, implications for mantle sources and melting processes" Lithos, 86 (2006) 50-76.
- [56] Alici P., Temel A., Gouraud A., "Pb- Nd-Sr isotope and trace element geochemistry of Quaternary extension-related alkaline volcanism: a case study of Kula region (western Anatolia, Turkey)" Journal of Volcanology and Geothermal Research 115 (2002) 487-510.